- нитрида хрома // Изв. вуз. Черная металлургия. 2012. № 12. С. 3 8
- 3. Ноздрин И.В., Галевский Г.В., Руднева В.В. Исследование изменения химического состава борида хрома при рафинировании, хранении и нагревании на воздухе // Изв. вуз. Черная металлургия. 2013. № 10. С. 3 10.
- 4. Руднева В.В. Наноматериалы и нанотехнологии в производстве карбида кремния: монография: в 3 т. Дополнительный том. Плазменный синтез и компактирование нанокарбида кремния. М.: Флинта: Наука, 2011. 241 с.
- 5. Ш и р я е в а Л.С. Разработка научных и технологических основ плазмометаллургического производства карбида хрома: автореф. дис. к.т.н. Новокузнецк, 2013.— 20 с.
- **6.** Руднева В.В., Галевский Г.В. Термоокислительная устойчивость нанопорошков тугоплавких карбидов и боридов // Изв. вуз. Черная металлургия. 2007. № 4. С. 20 24.

© 2014 г. Л.С. Ширяева, И.В. Ноздрин, Г.В. Галевский, В.В. Руднева Поступила 20 февраля 2014 г.

УДК 620.193.4/5

В.Ф. Горюшкин, Ю.В. Бендре, С.А. Зенцова, А.Ю. Гагарин

Сибирский государственный индустриальный университет

МЕХАНИЗМ И КИНЕТИЧЕСКИЕ ПАРАМЕТРЫ ГАЗОВОЙ КОРРОЗИИ ТИТАНОВОГО СПЛАВА ВТ6 В ТЕТРАХЛОРИДЕ УГЛЕРОДА

Ранее в работе [1] были изучены механизм и кинетика газовой коррозии технически чистого титана марки ВТ1-0 в атмосфере тетрахлорида углерода и интервале температуры 573 – 773 К. Методом химических реакций в сочетании с рентгенофазовым анализом установлено, что при 673 К и выше металл при коррозии переходит в газовую фазу в составе тетрахлорида титана с постоянной скоростью при изотермической выдержке, а на образце образуется пористая незащитная пленка аморфного углерода:

$$Ti_{TB} + CCl_{4\pi ap} \rightarrow C_{TB} + TiCl_{4\pi ap}.$$
 (1)

По результатам ряда параллельных гравиметрических измерений определили кинетические параметры реакции (1), которую можно рассматривать и как реакцию хлорирования титана тетрахлоридом углерода.

Между тем, в промышленности широко используется не технически чистый титан, а его сплавы [2]. Пожалуй, наибольшее значение имеет сплав ВТ6 (IMI 318), который относится к числу первых отечественных конструкцион-

ных свариваемых титановых сплавов. По фазовому составу этот сплав относится к двухфазным $\alpha + \beta$ сплавам мартенситного класса с небольшим количеством β -фазы, наличие которой обусловливает их способность к упрочняющей термической обработке.

Настоящая работа посвящена изучению механизма и кинетики газовой коррозии сплава BT6 в атмосфере тетрахлорида углерода.

Экспериментальная часть

Вещества и аппаратура. Как и в работе [1], использовали цилиндрические образцы диам. 19 – 20 и толщиной 1 – 4 мм сплава ВТ6 двух партий. Результаты рентгеноспектрального анализа* образцов сплава приведены ниже (последовательный рентгенофлуоресцентный волнодисперсионный спектрометр Shimadzu XRF-1800):

тия Ti Al V Si Fe Ni С 1 93,14 6,21 Да 0,055 0,11 0,027 0,	
<i>1</i> 93,14 6,21 Да 0,055 0,11 0,027 0,	ТИЯ
	1
2 92,77 6,73 Да 0,031 0,11 0,026 0,	2

^{*} Рентгеноспектральный анализ образцов выполнила зав. ЛЭКИМО СибГИУ Н.А. Кривогузова.

Поверхность металла шлифовали на наждачной бумаге 25 Н (ГОСТ 13344 – 79). В качестве хлорагента применили тетрахлорид углерода «ХЧ» (содержание примесей менее 0,01 %). Согласно справочным данным [3], жидкий (при обычных условиях) тертрахлорид углерода ССl₄ кипит при 350 K, а затем разлагается в интервале температур 673 – 773 K:

$$CCl_{4\pi ap} \rightarrow C_{TB} + 2Cl_{2\Gamma a3}.$$
 (2)

Для осуществления взаимодействия металла с хлорагентом использовали установку [4], которая была первоначально разработана для синтеза хлоридов лантаноидов.

Методика экспериментов. Испытания проводили в изотермических условиях при двух температурах: 673 и 773 К по такой же методике, как и в работе [1]. При этом в центре кварцевой лодочки всегда размещали по четыре образца (см. позицию а рисунка). Во всех опытах выдержка образцов в печи составляла 4 ч при непрерывном и контролируемом по скорости потоке паров CCl₄ (вектор потока паров показан на рисунке). В каждом опыте измеряли следующие параметры: линейные размеры и массу образцов до опыта; температуру реактора и время выдержки образцов в реакторе; массу образцов после извлечения из реактора; массу и линейные размеры образцов после механического удаления с их поверхности пленки углерода (механическое удаление – легкая, без особых усилий, очистка поверхности хирургическим скальпелем и лезвием опасной бритвы).

Результаты и их обсуждение

Во внешнем виде образцов сплава ВТ6 после испытаний (образцы покрыты слоем твердого углерода, легко отделяющимся от поверхности металла) и в других проявлениях реакции (молочно-белый густой дым при от-

крывании пробки реактора для извлечения образцов после изотермической выдержки) не наблюдали отличий от опытных образцов титана ВТ1-0. Результаты газовой коррозии сплава ВТ6 в тетрахлориде углерода при двух температурах 673 и 773 К приведены в таблице. В опытах 1 использовали образцы от первой партии, в остальных опытах - от второй. При этом от второй партии в ряде последовательных опытов применяли одни и те же образцы, которые после каждого опыта зачищали вновь по единой методике. Но расположение образцов в лодочке при этом по отношению к вектору потока CCl₄ в каждом опыте изменялось случайным образом. По данным таблицы рассчитывали массовый показатель коррозии $(K_{\scriptscriptstyle m}^{\scriptscriptstyle -})$ по формуле

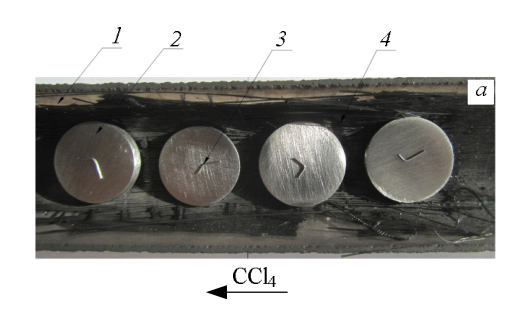
$$K_m^- = \frac{\Delta m}{St},\tag{3}$$

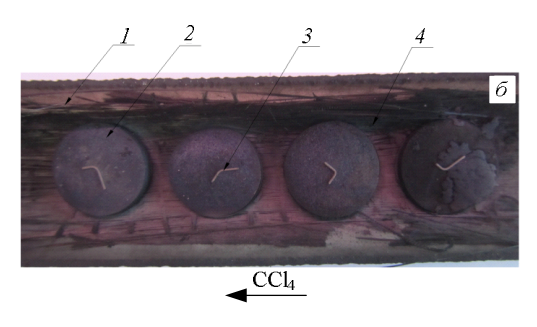
где Δm — изменение массы образца, г; S — площадь поверхности образца, мм 2 ; t — время коррозии, ч.

Величины K_m^- образцов также приведены в таблице. Их среднеарифметические значения и доверительные интервалы соответственно составили: K_m^- (673 K) = $(4.6 \pm 0.6) \cdot 10^{-5}$ г/(мм²·ч) (P = 0.95; f = 22); K_m^- (773 K) = $(9.4 \pm 2.7) \cdot 10^{-5}$ г/(мм²·ч) (P = 0.95; f = 17).

Сравнение показателей коррозии в тетрахлориде углерода образцов ВТ6 (настоящая работа) и титана ВТ1-0 [1] показывает, что они совпадают в области доверительных интервалов, причем при более низкой температуре 673 К данные отличаются лучшей воспроизводимостью.

Совпадение данных для технически чистого титана BT1-0 [1] и сплава BT6 определяет возможность обработать полученные результаты





Образцы титанового сплава ВТ6 перед помещением лодочки в реактор (a) и после коррозии в потоке CCl_4 при 673 K (δ) : I – кварцевая лодочка; 2 – образцы металла; 3 – нихромовая проволочка; 4 – подложка из углеродного волокна; стрелками показан вектор потока паров CCl_4

Результаты газовой коррозии титанового сплава ВТ6 в тетрахлориде углерода

Опыт	Номер образца	т, г	<i>S</i> , mm ²	Δm , Γ	$K_m^- \cdot 10^5$,		
	ооразца				г/(мм ² ·ч)		
При 673 К							
1	1	1,7037	448,0	-0,1435	8,01		
	2	1,5822	431,2	-0,1198	6,94		
	3	1,3236	423,2	-0,1055	6,23		
2	1	5,5624	887,3	-0,1397	3,94		
	2 3	5,5748	886,0	-0,1609	4,54		
		6,4616	916,2	-0,1936	5,28		
	4	4,4058	798,8	-0,2104	6,58		
3	1	5,3921	869,7	-0,2162	6,21		
	2	5,3771	858,5	-0,1596	4,65		
	3	6,2249	895,5	-0,1331	3,72		
	4	4,1585	775,6	-0,0987	3,18		
4	1	3,2924	699,1	-0,0877	3,14		
	2 3	3,5745	716,9	-0,0784	2,73		
		4,4570	754,0	-0,1359	4,51		
	4	2,3637	613,8	-0,0862	3,51		
5	1	2,9385	661,7	-0,1441	5,44		
	2	3,1649	685,3	-0,1131	4,12		
	3	3,9704	715,5	-0,0692	2,42		
	4	1,9856	587,6	-0,0787	3,35		
	1	2,7743	652,8	-0,0984	3,77		
	2	3,0315	670,2	-0,0840	3,13		
6	3	3,8721	712,2	-0,1574	5,53		
	4	1,8921	567,4	-0,1088	4,79		
При 773 К							
1	1	1,5771	430,6	-0,2006	11,65		
	2	1,5636	427,5	-0,1577	9,22		
	3	1,7741	460,8	-0,1243	6,74		
2	1	6,5414	946,6	-0,4706	12,43		
	2	6,6770	960,1	-0,6104	15,89		
	3	7,9124	1012,6	-0,9198	22,71		
3	1	5,8610	912,7	-0,2202	6,03		
		5,8394	904,3	-0,1742	4,82		
	2 3	6,7366	939,6	-0,1775	4,72		
	4	4,8208	833,3	-0,3398	10,19		
4	1	5,1435	845,6	-0,1271	3,76		
	2	5,1988	851,7	-0,1644	4,82		
	3	6,0636	881,6	-0,2687	7,62		
	4	4,0322	766,1	-0,5062	16,52		
5	1	4,9775	832,1	-0,5087	15,28		
		4,9865	827,8	-0,2570	7,76		
	2 3	5,5762	858,4	-0,1113	3,24		
	4	3,4868	723,7	-0,1425	4,92		
		,	, ,	-,	.,- =		

как одну совокупность равноточных измерений. В результате совместной обработки получили: $K_m^-(673~{\rm K})=(4,5\pm0,5)\cdot10^{-5}~{\rm г/(mm^2\cdot u)}~(P=0,95;f=30);~K_m^-(773~{\rm K})=(8,9\pm1,6)\cdot10^{-5}~{\rm г/(mm^2\cdot u)}~(P=0,95;f=28).$ Эти значения относятся как к титану BT1-0, так и к титановому сплаву BT6.

Кажущуюся энергию активации сложной гетерогенной реакции (1) после совместной обработки данных оценивали по уравнению

$$E_{\rm a} = \frac{R \ln[(K_m^-(773K)/K_m^-(673K))]}{1/673 - 1/773}, \quad (4)$$

где $E_{\rm a}$ — кажущаяся энергия активации, Дж/моль; R — универсальная газовая постоянная, Дж/(моль·К); K_m^- (673 K) и K_m^- (773 K) — массовые показатели коррозии при температуре 673 и 773 K соответственно.

Кажущаяся энергия активации реакции (1), рассчитанная по выражению (4), составила $E_a = 30 \pm 5$ кДж/моль. Погрешность оценивали

с учетом средней для двух температур относительной ошибки при определении массового показателя коррозии.

В работе [1] уже было отмечено, что твердый углерод в опытах образуется только на поверхности титана (как результат реакции (1)), ни на поверхности кварцевой лодочки, ни на поверхности специально помещенного в лодочку углеродного волокна его нет, хотя температура изотермической выдержки равнялась справочной температуре начала разложения тетрахлорида углерода. Оставался не обсужденным вопрос о возможном распаде CCl₄ на поверхности уже образовавшейся на поверхности металла углеродной пленки и последующей диффузии через углерод к металлу уже не молекул CCl₄, а молекул Cl₂, что фактически изменило бы механизм реакции.

Для ответа на этот вопрос в нескольких опытах на поверхность металлических образцов помещали тонкие проволочки из нихрома диам. 0,3 мм, которые служили своеобразной нейтральной меткой (см. позицию а рисунка). После опытов (позиция б рисунка) нихромовые проволочки неизменно оказывались на поверхности образовавшегося углерода, а не между металлом и углеродом. Такое расположение свидетельствует о том, что зона роста углеродной пленки находится на границе раздела металл – углерод, а через саму пленку осуществляется диффузия молекул CCl₄. В этом случае принято отмечать, что пленка твердых продуктов гетерогенной реакции на поверхности «растет внутрь».

Выводы. Гравиметрическим методом изучены механизм и скорость коррозии титанового сплава BT6 в потоке тетрахлорида углерода при температурах 673 и 773 К. Установлено, что титан из сплава BT6 так же как и чистый титан переходит в газовую фазу в составе тетрахлорида титана с постоянной скоростью, а на поверхности сплава образуется пористая незащитная пленка аморфного углерода, т.е. $Ti_{TB} + CCl_{4пар} \rightarrow C_{TB} + TiCl_{4пар}$. Сравнивая показатели коррозии в тетрахлориде углерода об-

разцов BT6 (настоящая работа) и титана BT1-0 [1], можно констатировать, что их значения совпадают в области доверительных интервалов, и открывается возможность обработать полученные результаты как одну совокупность равноточных измерений. В результате совместной обработки определили значения K_{m}^{-} , приведенные выше, а также рассчитали значение $E_a = 30 \pm 5$ кДж/моль. Эти данные относятся как к титану ВТ1-0, так и к титановому сплаву ВТ6. Опытами с размещением на поверхности металлических образцов специальной индифферентной метки установили, что углеродные пленки, образующиеся на титане и его сплаве в результате реакции (1), «растут внутрь» и, следовательно, одной из стадий реакции является диффузия молекул тетрахлорида углерода из ядра газовой фазы к поверхности металла через углеродную пленку.

БИБЛИОГРАФИЧЕСКИЙ СПИСОК

- 1. Горюшкин В.Ф., Бендре Ю.В., Тонкушин Я.В., Соскова Н.А., Будовских Е.А. / Газовая коррозия титана в тетрахлориде углерода // Вестник Сибирского государственного индустриального университета. 2013. № 1(3). С. 25 28.
- **2.** Полмеар Я. Легкие сплавы: от традиционных до нанокристаллов. М.: Техносфера, 2008. 464 с.
- 3. Лидин Р.А., Молочко В.А., Андреева Л.Л. Реакции неорганических веществ: справочник. 2-еизд., перераб. и доп. М.: Дрофа, 2007. 637 с.
- 4. Пат. 2422365 РФ. МПК СО1F 17/00. Устройство для получения безводных хлоридов лантаноидов / Ю.В. Горюшкина, В.И. Ларин, В.Ф. Горюшкин. Заявл. 19.11.2009; опубл. 27.06.11. Бюл. № 18.

© 2014 г. В.Ф. Горюшкин, ЮВ. Бендре, С.А. Зенцова, А.Ю. Гагарин Поступила 19 июня 2014 г.